

О ГЕОМЕТРИЧЕСКИХ ПРЕДЕЛАХ РАСПРОСТРАНЕНИЯ ГАЗОВОЙ ДЕТОНАЦИИ

A. A. Васильев

(Новосибирск)

Геометрические пределы распространения детонации в твердых и жидкых ВВ обычно связывают с критическим диаметром d_* . Для газовых и гетерогенных систем эти пределы связаны с процессами трения, теплообмена, массопереноса и т. д.

Вопросам критического диаметра для твердых и жидкых ВВ посвящено много работ, например [1—4]. Для газовых же взрывчатых смесей этот вопрос практически не изучен. Те исследования [5—6], которые проводились для газов в гладких трубах различного диаметра, в основном сводились к выяснению лишь зависимости дефицита скорости ΔD (разности между расчетной скоростью идеальной одномерной детонации Чепмена — Жуге D_0 и экспериментальной скоростью самоподдерживающейся детонации D) от диаметра трубы (линейная зависимость $\Delta D/D_0 = f(1/d)$ предсказана теоретически в [7] в рамках одномерной модели детонации с потерями). Как правило, условия этих экспериментов были далеки от критических (по давлению p_0 или d). В первую очередь это связано с тем, что при уменьшении диаметра при фиксированном начальном давлении p_0 (или при неизменном диаметре за счет уменьшения p_0) процесс распространения детонационной волны оказывается существенно неодномерным — наблюдается спиновой режим детонации. Исследования этого режима в основном были посвящены структуре фронта детонации, тем не менее в некоторых работах (например, [8—12]) можно найти информацию об условиях и характеристиках спиновой детонации (p_0 , d , $\Delta D/D$ и т. д.).

Исследования распространения детонации в шероховатых трубах [7] касались лишь концентрационных пределов. Согласно одномерной модели [7], пределы должны были сужаться, но в эксперименте обнаружено их расширение. В первую очередь это связано с температурной неоднородностью течения, возникающей за счет влияния шероховатости стенок. Кроме этого, в трубах с сильной искусственной шероховатостью скорость распространения процесса сильно (40—50%) отличается от скорости в гладких трубах при прочих равных условиях. Существенная неоднородность детонационной волны вблизи пределов заставила авторов [7] признать, что их «одномерная теория предела совершенно неприменима к практическому расчету предела». В настоящее время наряду с теоретической важностью вопрос о значениях d_* для газовых смесей имеет большое практическое значение в связи с возрастающим использованием газовых смесей в различных технологических процессах.

В данной работе исследован вопрос о геометрических пределах распространения газовой детонации в каналах прямоугольного сечения. Подобные каналы в отличие от круглых труб позволяют устранить спиновой режим распространения детонации при приближении к пределу. Аналогом спиновому режиму в круглых трубах является «границный» (marginal) режим в прямоугольных каналах [13, 14]. Отличие режимов состоит в том, что поперечная волна вместо вращения вокруг оси трубы по ее периферии в прямоугольном канале движется между боковыми стенками канала. Спиральный след поперечной волны на боковой поверхности круглой трубы преобразуется в ромбовидный отпечаток, характерный для многофронтовой детонации вдали от пределов.

Взрывная камера (рис. 1) представляла собой два соосных прямоугольных плоских капала сечением 5×120 мм², выфрезерованных в едином листе металла. Каналы соединялись шестью соосными пазами прямоугольного сечения с соотношением глубины и ширины паза 1:6,

обычным для плоских детонационных каналов [8]. Длина пазов 300 мм, глубина $\delta = 5, 4, 3, 2, 1$ и $0,5$ мм, чистота обработки — класс 6, т. е. величина шероховатости стекол ~ 10 мкм. Одна из стекол взрывной камеры сделана из толстого оптического стекла (плоскость соприкосновения камеры со стеклом на рис. 1 указана штриховкой, здесь же цифрами указаны глубины соответствующих каналов).

Перед каждым опытом камера вакуумировалась и затем наполнялась заранее приготовленной взрывчатой смесью. Напуск смеси и инициирование детонации в ней с помощью высоковольтного разряда осуществлялись в точках, лежащих по разные стороны от перемычки с пазами. Исследования выполнены для смесей $C_2H_2 + 2,5O_2$ и $2H_2 + O_2$ (использовались газы из технических баллонов) в диапазоне начальных давлений от 0,05 до 4 атм, что существенно выше давлений, при которых проводились исследования спиновой и «граничной» детонаций. При этом максимальный статический прогиб стекла в центре при $p_0 = 4$ атм составил 7 мкм. Паз 5×330 мм (с глубиной, равной глубине канала) служил базовым для измерения величины скорости детонации и ее стабильности вдали от пределов. Кроме описанной взрывной камеры для проведения экспериментов с $p_0 > 1$ атм изготовлена аналогичная взрывная камера с пазами глубиной 1,0, 0,5, 0,4, 0,3, 0,2 и 0,1 мм и одноковой шириной 3 мм (длина пазов 160 мм).

С помощью фоторегистратора исследовались режимы распространения волн в этих каналах в зависимости от начального давления. На рис. 2, а приведена фоторазвертка самоподдерживающихся ($\delta = 5, 4, 3, 2$ мм) и затухающих ($\delta = 1$ и $0,5$ мм) режимов детонации (смесь $C_2H_2 + 2,5O_2$, $p_0 = 0,06$ атм, камера 1). В канале с $\delta = 5$ и 4 мм траектория детонационного фронта выглядит в виде прямой линии без заметных пульсаций. При $\delta = 3$ мм и особенно $\delta = 2$ мм уже видно, что детонационная волна распространяется в квазистационарном пульсирующем режиме. В канале с $\delta = 1$ мм волна вначале «пыталась» идти в пульсирую-

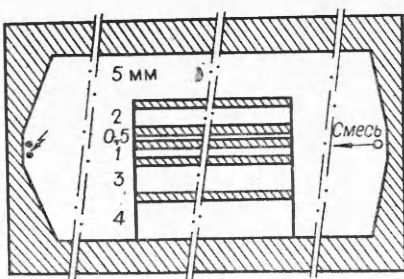


Рис. 1.

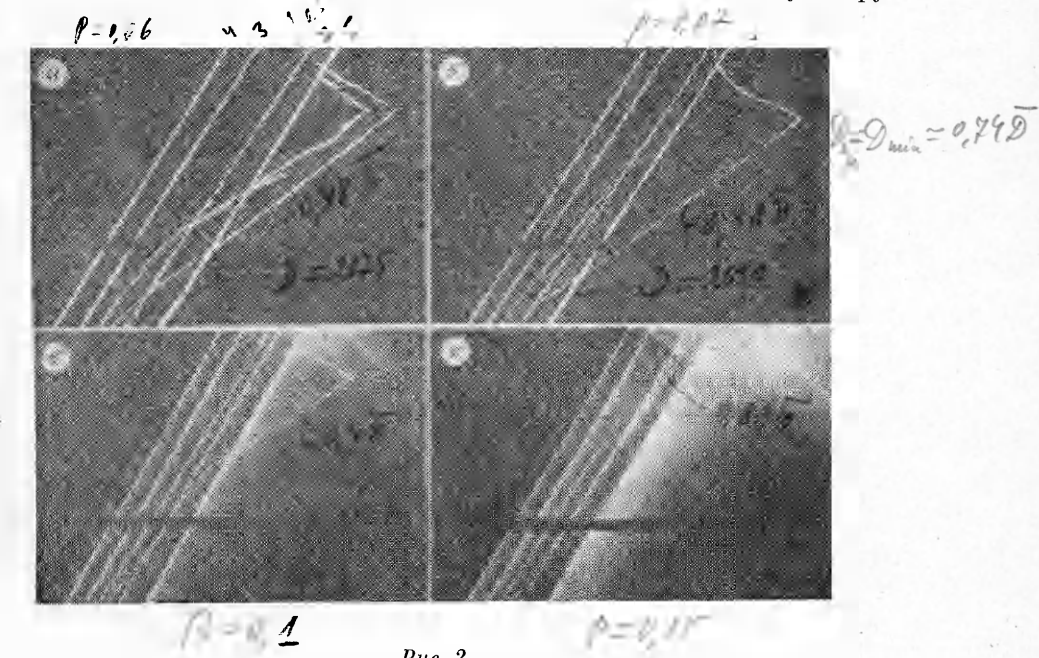


Рис. 2.

щем режиме со средней скоростью $\approx 0,80\bar{D}$, но, пройдя примерно 1/3 длины канала, быстро уменьшила свою скорость до $\approx 0,40\bar{D}$, распространяясь в дальнейшем со скоростью, лишь незначительно изменяющейся около этой величины. В случае $\delta = 0,5$ мм детонация срывается вблизи начала и фронт самосвечения распространяется со средней скоростью $\approx 0,48\bar{D}$, при этом на длине канала скорость фронта самосвечения совершают несколько плавных колебаний относительно среднего уровня. Здесь \bar{D} — скорость самоподдерживающейся детонации в канале с $\delta = 5$ мм, далеком от предельного (см. ниже):

| | | | | | | | | |
|-----------------|------|------|------|------|------|------|------|------|
| p_0 , атм | 0,06 | 0,07 | 0,08 | 0,10 | 0,15 | 0,25 | 0,35 | 0,45 |
| D_0 , м/с | 2266 | 2283 | 2290 | 2301 | 2322 | 2350 | 2368 | 2382 |
| \bar{D} , м/с | 2075 | 2090 | 2115 | 2170 | 2230 | 2280 | 2325 | 2370 |

Отметим, что режимы распространения со скоростями, заметно меньшими скорости детонации Чепмена — Жүге D_0 , наблюдались в круглых трубах с искусственной шероховатостью стенок [7].

Режим распространения в канале с глубиной 1 мм при $p_0 = 0,07$ атм (рис. 2, б) является критическим. Особенность этого режима состоит также в пульсирующем характере распространения, средняя скорость в этом режиме $\approx 0,82\bar{D}$. Интересен характер распространения волн вдоль канала: вблизи входа пульсации фронта имеют практически одинаковую протяженность, затем, они укрупняются, достигают некоторого максимального размера и вновь уменьшаются до примерно той же протяженности, что и на входе канала. Средняя скорость распространения волны в области укрупнения пульсаций уменьшается до $\sim 0,74\bar{D}$, затем вновь возрастает до своей квазистационарной величины. Подобное поведение скорости распространения и размера пульсаций характерно для процессов критического инициирования газовой детонации: волна вблизи инициатора имеет скорость, большую, чем D_0 , затем, затухая, «проходит» через D_0 , достигает некоторого минимального значения D_{min} и вновь разгоняется до квазистационарной величины D . В свою очередь, характерный размер ячейки увеличивается по мере выхода волны из пересжатия до максимальной величины вблизи минимума скорости и вновь уменьшается по мере асимптотического приближения средней скорости отдельных пульсаций к скорости самоподдерживающейся детонации.

Пульсирующий характер распространения волны фиксируется при $p_0 = 0,07$ атм и в канале с $\delta = 2$ мм. Несомненно, что это свойство характерно и для каналов с $\delta > 2$ мм, в которых из-за большей скорости распространения пульсации уменьшаются настолько, что не воспринимаются фотопленкой, а траектория движения представляет собой прямую линию. В случае $\delta = 0,5$ мм вблизи входа фиксируется срыв пульсирующей детонации; фронт самосвечения в дальнейшем движется со скоростью $\approx 0,48\bar{D}$. Здесь также на длине канала наблюдается несколько плавных колебаний фронта самосвечения.

Дальнейшее увеличение p_0 заметно повышает критическую скорость распространения. Так, при $p_0 = 0,10$ атм в канале с $\delta = 1$ мм скорость процесса уже равна $\sim 0,90\bar{D}$. При этом в канале с $\delta = 0,5$ мм примерно до середины длины наблюдается квазистационарный пульсирующий режим со скоростью $\approx 0,79\bar{D}$, срывающийся затем на режим горения со скоростью $\sim 0,4\bar{D}$ (рис. 2, в).

При $p_0 = 0,15$ атм детонация идет во всех шести каналах (рис. 2, г), причем и здесь в случае $\delta = 0,5$ мм скорость процесса $\approx 0,88\bar{D}$, т. е. заметно превышает критическую. В каналах с $\delta < \delta_*$ происходит затухание детонации, в дальнейшем фронт самосвечения распространяется со скоростью 800—1000 м/с.

Оценим число Рейпольдса $Re = \delta \rho u / \eta$ для смеси $C_2H_2 + 2,5O_2$ при $p_0 = 0,07$ атм и $\delta = 1$ мм. Здесь ρ — плотность смеси, u — массовая скорость, η — динамическая вязкость. Воспользовавшись результатами расчета параметров детонации [15], получим, что в области между ударным

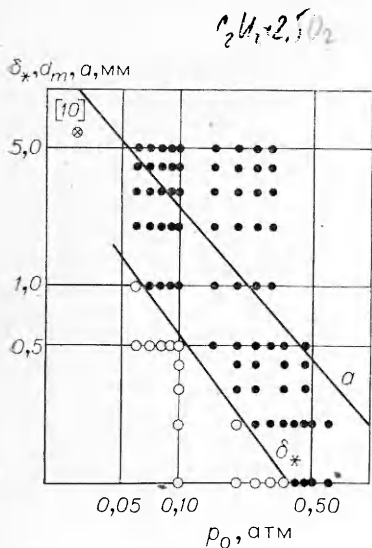


Рис. 3.

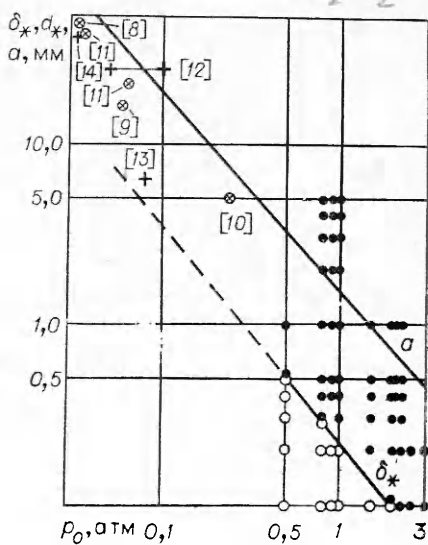


Рис. 4.

фронтом и началом зоны химической реакции $Re \approx 24000$, а в плоскости Чепмена — Жүге $Re \approx 1800$, т. е. в критическом режиме поток перед зоной реакции является турбулентным, а по окончании химической реакции число Рейнольдса близко к граничному значению, характеризующему смену ламинарного и турбулентного режимов течения.

На рис. 3, 4 приведены результаты экспериментов по определению зависимости критического размера канала δ^* от начального давления соответственно для смесей $\text{C}_2\text{H}_2 + 2,5\text{O}_2$ и $2\text{H}_2 + \text{O}_2$ (светлые кружки — затухание, темные — детонация). Здесь же нанесены данные других авторов о диаметре трубы d^* и размерах прямоугольных каналов, в которых наблюдалась спиновая детонация. Условия, в которых они получены, и их результаты приведены в таблице.

Как видно из рис. 4, данные [14], полученные в квадратном канале, хорошо согласуются с результатами для круглых труб. В таблице и на рис. 4 приведены также результаты работы [13] для «граничного» распространения детонации в прямоугольном канале в смеси $2\text{H}_2 + \text{O}_2 + 3\text{Ar}$, поскольку размер ячейки a в этой смеси слабо отличается от такового в смеси $2\text{H}_2 + \text{O}_2$. Этот результат «граничного» режима также хорошо

| Смесь | d , мм | p_0 , мм рт. ст. | \bar{D} , м/с | \bar{D}/D_0 | Литература |
|---|--------------------|-----------------------|-----------------|---------------|------------|
| $2\text{H}_2 + \text{O}_2$ | 5 | 180 | 2600 | 0,94 | [10] |
| | 15,9 | 40—82 | — | — | [12] |
| | 16 | 45 | 2200 | 0,82 | [9] |
| | 21 | 48 | — | — | [11] |
| | 40 | 27 | 2350 | 0,88 | [11] |
| | 45 | 25 | — | — | [8] |
| | $38,4 \times 38,4$ | 20—30 | — | — | [14] |
| $2\text{H}_2 + \text{O}_2 + 3\text{Ar}$ | $76,2 \times 6,3$ | 58 | — | 0,87 | [13] |
| $2\text{H}_2 + \text{O}_2 + 7\text{Ar}$ | 40 | 46 | 1366 | 0,95 | [11] |
| | 80 | 33 | 1366 | 0,95 | [11] |
| $\text{C}_2\text{H}_2 + 2,5 \text{O}_2$ | 6 | 22 | — | — | [10] |

согласуется с полученными результатами. При большем разбавлении аргоном (~70%) различие в a уже заметно. Оценка числа Рейнольдса для смеси $2\text{H}_2 + \text{O}_2$ (подобно сделанной выше для $\text{C}_2\text{H}_2 + 2,5\text{O}_2$) при $p_0 = 2,0$ атм, $\delta_* = 0,1$ мм дает значение $\text{Re} \approx 34000$ перед зоной химической реакции и $\text{Re} \approx 4200$ по ее окончании, т. е. в этой смеси поток остается турбулентным.

В исследованном диапазоне p_0 зависимость $\delta_* = f(p_0)$ хорошо описывается формулой $\delta_* = Ap_0^{-\alpha_1}$, где $A = 0,028$, $\alpha_1 = 1,3$ для $\text{C}_2\text{H}_2 + 2,5\text{O}_2$ и $A = 0,23$, $\alpha_1 = 1,2$ для $2\text{H}_2 + \text{O}_2$. Для этих же смесей в условиях, далеких от предельных, аналогичной функциональной зависимостью можно описать и характерный размер элементарной ячейки a [16, 17].

$$a = Bp_0^{-\beta_1}, \quad (1)$$

тогда

$$\delta_*/a = cp_0^{-\alpha}. \quad (2)$$

В результате $C \approx 0,14$, $\alpha \approx 0,2$ и $C \approx 0,45$, $\alpha \approx 0,1$ в случае смесей $\text{C}_2\text{H}_2 + 2,5\text{O}_2$ и $2\text{H}_2 + \text{O}_2$ соответственно. Если отвлечься от слабой зависимости δ_*/a от p_0 , то для исследованных составов в первом приближении критический размер капала δ_* близок к размеру поперечной волны $\lambda = (1/5 \div 1/8)a$. Реально же $\delta_* < \lambda$, ибо для предельных условий зависимости (1), (2) будут иметь другие коэффициенты, поскольку здесь происходит увеличение размера ячейки за счет большего уменьшения скорости самоподдерживающейся детонации.

Таким образом, в результате исследований показано, что критический размер капала для газовой детонации близок к размеру поперечной волны самоподдерживающейся детонации вдали от пределов.

Поступила в редакцию 19/II 1980

ЛИТЕРАТУРА

1. Ю. Б. Харитон. Вопросы теории взрывчатых веществ. Вып. 1. М.—Л.: Изд-во АН СССР, 1947.
2. А. Н. Дремин и др. Детонационные волны в конденсированных средах. М.: Наука, 1970.
3. К. К. Андреев, А. Ф. Беляев. Теория взрывчатых веществ. М.: Оборонгиз, 1960.
4. Ф. А. Баум и др. Физика взрыва. М.: Наука, 1975.
5. П. Guenoche, N. Manson. Revue de l'Institut Francais du Petrole et Annales de Combustibles Liquides, 1954, 9, 214.
6. G. B. Kistiakowsky, P. T. Knight, M. E. Malin. J. Chem. Phys., 1952, 20, 876.
7. Я. Б. Зельдович. А. С. Компанеец. Теория детонации. М.: Изд-во техн.-теор. лит., 1955.
8. Б. В. Войцеховский, В. В. Митрофанов, М. Е. Топчян. Структура фронта детонации в газах. Новосибирск: Изд-во СО АН СССР, 1963.
9. К. И. Щелкин, Я. К. Трошин. Газодинамика горения. М.: Изд-во АН СССР, 1963.
10. В. И. Манжалей, В. В. Митрофанов. ФГВ, 1973, 9, 5.
11. В. Ю. Ульяницкий. ФГВ, 1980, 16, 1.
12. R. E. Duff. Phys. Fluids, 1961, 4, 1427.
13. R. A. Strehlow, A. J. Crooker. Acta Astr., 1974, 1, 3/4, 303.
14. D. H. Edwards, F. A. Perry, A. T. Jones. J. Fluid Mech., 1966, 26, 2.
15. Ю. А. Николаев, М. Е. Топчян. ФГВ, 1977, 13, 3.
16. R. A. Strehlow, C. D. Engel. AIAA J., 1969, 7, 3.
17. В. И. Манжалей, В. В. Митрофанов, В. А. Субботин. ФГВ, 1974, 10, 1.